

Omocestus defauti n. sp. de Corse (Orthoptera, Acrididae, Gomphocerinae)

par Eric SARDET* & Yoan BRAUD**

*78, rue de Metz, F - 57130 Rezonville << sardet@free.fr >>
**le Village, F - 05700 Trescléoux <yvan_braud@yahoo.fr >

Résumé. – Une nouvelle espèce de Gomphocerinae (Orthoptera, Acrididae) est décrite de Corse : *Omocestus defauti* n. sp. Une description détaillée de la morphologie et de la stridulation est donnée pour séparer cette espèce des six autres espèces du genre connues de France. Cet *Omocestus* de petite taille se caractérise par une morphologie de la tête et du pronotum tout à fait caractéristique, ainsi que par ses ailes enfumées et par sa stridulation. Il a été identifié sur du matériel collecté en 2001 et semble avoir passé complètement inaperçu jusque là. Il est actuellement connu de sept sites à pelouses rocheuses de la moitié septentrionale de l'île.

Summary. – *Omocestus defauti* n. sp. from Corsica (Orthoptera, Acrididae, Gomphocerinae). A new species of Gomphocerinae is described from Corsica Island : *Omocestus defauti* n. sp. A detailed description of the morphology and stridulation are provided. This small *Omocestus* is readily identified by a very typical head and pronotum morphology, as well as by the infuscated hind wings and stridulation. It was identified from material collected in 2001 and seems to have been completely overlooked until that time. The species is presently known in seven rocky meadows of the northern half of the island.

Mots clés. – Orthoptera, Gomphocerinae, *Omocestus defauti* n. sp., Corse.

A la suite de plusieurs excursions en Corse, une première actualisation du catalogue des Orthoptéroïdes de Corse (BRAUD *et al.*, 2002) mentionne quatre espèces nouvelles pour cette île, dont *Omocestus petraeus* (BRISOUT, 1855). À partir d'une étude approfondie du matériel en collection, il s'est avéré que la détermination était erronée, et que les données concernant cette espèce devaient en réalité être attribuées à un nouveau taxon. Trois excursions en 2005 et 2006 ont permis de récolter du matériel supplémentaire, d'enregistrer les stridulations et de découvrir six stations nouvelles. Une seconde actualisation du catalogue des Orthoptéroïdes de Corse a été réalisée à cette occasion (BRAUD & SARDET, 2006).

Le genre *Omocestus* Bolívar, 1878, comprend en Europe quinze espèces (HELLER *et al.*, 1998), toutes aisément identifiables. Le genre se caractérise par l'absence d'élargissement à la base du champ précostal, la nervation alaire (champ médian généralement non élargi), les cerques des mâles coniques et pointus, les valves de l'oviscapte non dentées. On distingue communément deux sous-genres : les *Omocestus* Bolívar, 1878, qui possèdent des carènes latérales du pronotum faiblement anguleuses, ou droites, dans la prozone et les *Ditrius* Hartz, 1975, dont les carènes sont anguleuses dans la prozone.

Ce nouvel *Omocestus* s'ajoute aux six espèces connues de France.

MATÉRIEL ET MÉTHODES

Les mensurations ont été effectuées à l'aide d'une lentille micrométrique montée sur une loupe binoculaire.

Les enregistrements ont été réalisés avec un enregistreur numérique Marantz PMD660 relié à un microphone omnidirectionnel Sennheiser K6P-MIE64 (bande passante 40 - 20 000 Hz). Les enregistrements sont effectués en format non compressé (Modulation par Impulsions Codées 16-bits linéaire) et en fréquence d'échantillonnage de 44.1 KHz.

Le traitement acoustique et les sonogrammes ont été réalisés avec le logiciel SoundRuler acoustic analysis Version 0.941 (GRIDI-PAPP, 2004). La terminologie descriptive des stridula-

tions est empruntée (et adaptée) de RAGGE & REYNOLDS (1998) : chant d'appel ou chant ordinaire = calling song, chant de cour = courtship song, phrases = echeme, syllabes ou accents = syllables, interruption = gap.

Omocestus defauni n. sp.

HOLOTYPE, ♂, ALLOTYPE, ♀, PARATYPES, 27 ♂, 31 ♀ : Corse (20), commune d'Olmeta-di-Tuda, mont Pinzali (WGS84 : N42,6048°/E9,3721°), alt. 430-600 m, 27.IX.2005, *leg. E. Sardeni & Y. Braud*; l'holotype et l'allotype sont déposés au Muséum national d'Histoire naturelle, Paris ; paratypes : 1 ♂, 1 ♀ in coll. Bernard Defaut ; 1 ♂, 1 ♀ in coll. Didier Morin ; 1 ♂, 1 ♀ in coll. Y. Braud ; les autres, 24 ♂, 28 ♀ in coll. E. Sardeni.

Autre matériel : 2 ♂, 2 ♀, Olmeta-di-Tuda, Burghignaja, 495 m (WGS84 : N42,611°/E9,379°), le 27.IX.2005 ; 2 ♂, 1 ♀, Bigorno, col de Bigorno, 900 m (N42,53°/E9,26°), le 28.IX.2005 ; 3 ♂, 3 ♀, Albertacce, crête de Lendu, 1430 m (N42,519°/E8,955°), le 29.IX.2005 ; 2 ♂, Morosaglia, Bocca a Serra, 680 m (N42,44°/E9,27°), le 6.VII.2006 ; tous *leg. E. Sardeni & Y. Braud*.

Description. Male holotype. – Tegmen et aile droites étalés. Petite taille avec grosse tête légèrement conique et élytres étroits. Longueur corps : 13,6 mm (voir mensuration en Annexe)

Coloration générale brunâtre, abdomen brun-jaunâtre, la tête (joues et vertex) et le pronotum testacés de bleu-gris ; fémurs postérieurs avec face interne jaunâtre, face externe jaunâtre avec une bande médiane longitudinale brunâtre peu marquée, genoux jaunâtres ; tibias postérieurs jaunâtres devenant brunâtres vers l'apex, épines externes noires, épines internes brunâtres à la base, noires à l'apex, épérons brunâtres ; tegmina bruns avec l'apex tirant sur le noir, présence d'un stigma blanc faiblement marqué au dernier quart apical, ailes assez largement enfumées dans le quart apical.

Tête (fig. 6 et 7). En vue latérale : dessus globuleux, moyennement conique ; côte frontale profondément sillonnée, à carènes saillantes, à bords divergents vers le bas et sub-parallèles entre l'ocelle centrale et le vertex ; les bourrelets bordant le sillon médian de la côte frontale s'effacent avant d'atteindre le clypéus. La côte partant de l'œil orientée vers la mandibule forme une carène fine et saillante. La suture sous-oculaire forme une dépression bien marquée. Yeux globuleux et particulièrement grands et saillants ; vus de profil leur bord supérieur atteint presque le niveau du vertex. En vue dorsale : espace interoculaire étroit, inférieur à la largeur d'un œil ; fastigium du vertex étroit, allongé et bordé de carènes très saillantes, convergent vers l'avant pour former un angle aigu net ; pas de carinule médiane. Partie centrale du fastigium nettement déprimée. Fovécils en forme de quadrilatère allongé et rétréci vers l'avant, bien entfoncés, bordés par des carènes saillantes. Antennes filiformes et relativement longues (orientées vers l'arrière, elles dépassent le bord postérieur du pronotum), légèrement aplatis dorso-ventralement dans le tiers proximal.

Disque du pronotum. Carènes latérales faiblement marquées dans la prozone, mieux marquées dans la métazone, en forme de X, très divergentes vers l'avant et vers l'arrière, interrompues au milieu de la prozone. Sillon typique (sauts) très marqué ; les sillons latéraux 2 et 3 sont visibles sur le disque mais seul le sillon 2 est bien marqué ; carène médiane continue et saillante. Bord postérieur subanguleux. De profil, le disque s'abaisse nettement dans sa partie médiane, de part et d'autre du sillon typique.

Paranoium plus haut que large. Prozone lisse ; métazone légèrement rugueuse sur le bord postérieur mais plus nettement au niveau de l'angle supéro-postérieur. Angle inféro-postérieur du paranoium formant presque un angle droit.

Prosternum. Pas de tubercule prosternal. Espace mésosternal ouvert, transverse (trois fois plus large que haut). Angle interne des lobes mésosternaux arrondi et légèrement obtus.

Orifice tympanal (fig. 10). De forme allongée, étroit dans la partie supérieure, plus largement ouvert dans la partie inférieure.

Épiprocte (fig. 12). En forme d'écusson ; dépression longitudinale centrale bordée de bourrelets basaux, surmontée distalement par une protubérance saillante allongée et finie en pointe anguleuse creusée d'une petite dépression apicale arrondie.

Plaque sous-génitale, de profil, courte et régulièrement arrondie, de dessus, pincée sur la marge supérieure. **Cerques** coniques, courts, dépassant à peine le paraprote.

Pénis (fig. 11). Les valves forment un "aileron de requin" orienté à l'intérieur, la pointe s'abaisse distinctement dans le dernier cinquième apical.

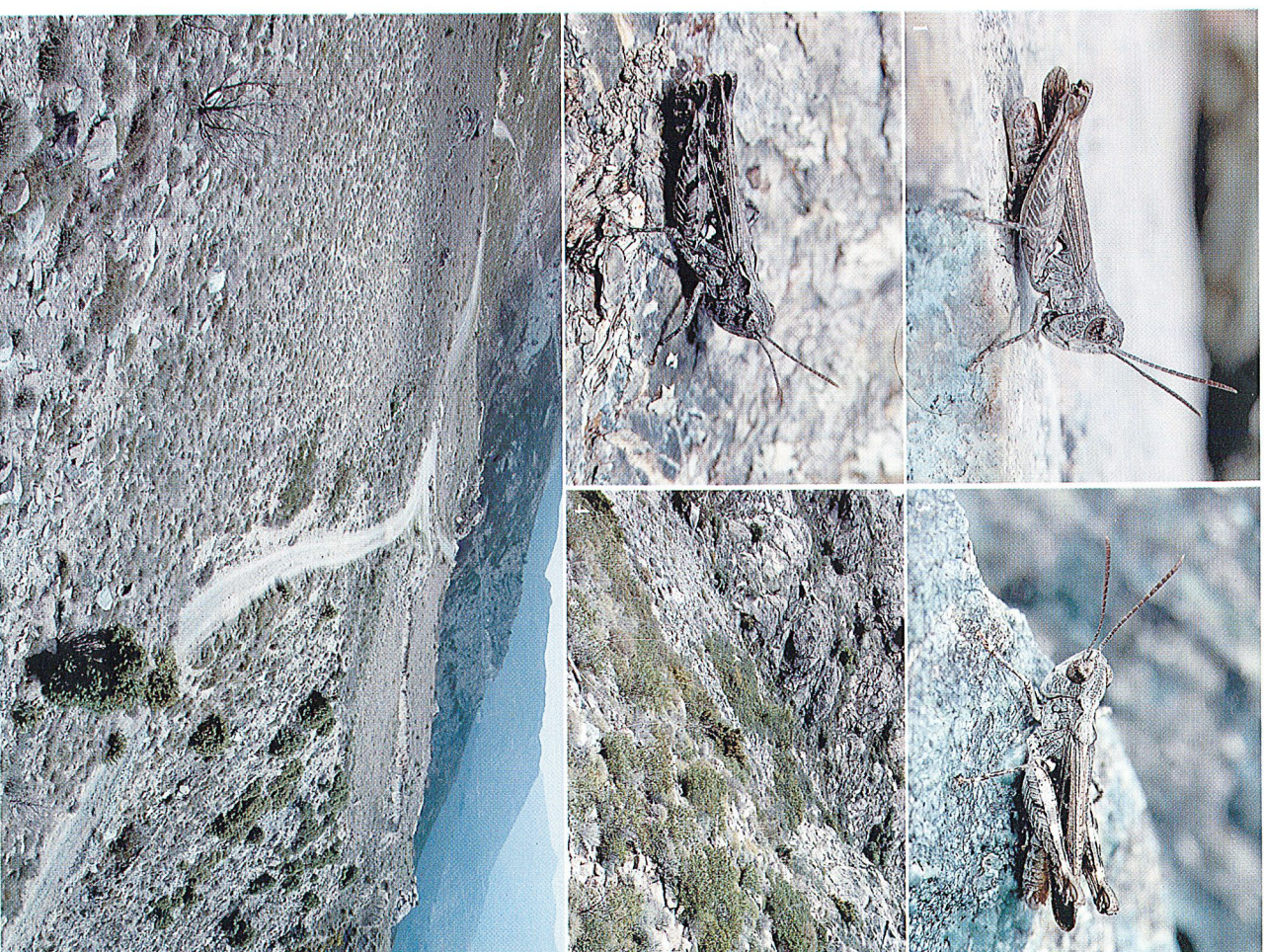


Fig. 1-5. – *Omocestus defauni* n. sp. et habitat dans deux stations. – 1, 2, ♂ ; – 3, ♀ ; – 4, Eboulis du mont Pinzali, à Olmeta-di-Tuda (*locus typicus*) ; – 5, Col de Bigorno.

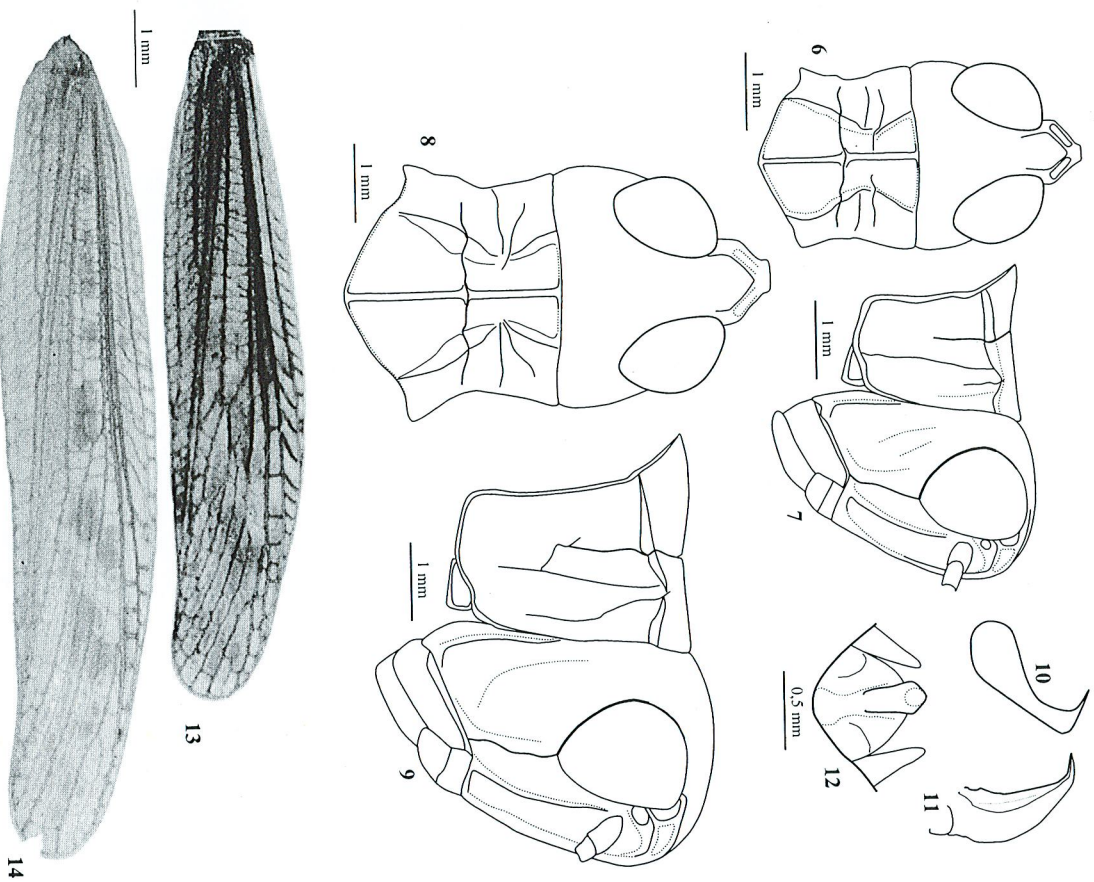


Fig. 6-14. – *Omocentrus defaui* n. sp., ♂ holotype et ♀ allotype. – 6, 7, Tête et pronotum ♂, vue dorsale et profil; – 8, 9, *Idem*, ♀; – 10, Orifice tympanal gauche, ♂; – 11, Valves du pénis; – 12, Epiprocte d'un ♂ paratype; – 13, 14, Tegmen droit, ♂ et ♀.

Fémurs postérieurs élancés (rapport longueur/largeur de 4,5), dents stridulatoires petites et serrées (entre 130 et 140).

Tibias postérieurs. Epines externes au nombre de 10 (tibia droit) ou 11 (tibia gauche); épines internes au nombre de 11 (tibia droit) ou 12 (tibia gauche). Deux épérons internes relativement courts et de même longueur, deux épérons externes longs et de même longueur.

Tegmina (fig. 13) atteignant l'apex des genoux postérieurs; absence de lobe basal sur le champ pré-costal, champ sous-costal non élargi, champ radial s'élargissant vers l'apex, champ médian peu élargi (sub-parallèle), champ cubital antérieur s'élargissant régulièrement pour devenir presque aussi large que le médian. *Alles postérieures* atteignant l'apex des tegmina. Assez largement enfumées dans le quart apical.

Femelle allotype. – Tegmen et aile droites étalés. Taille sensiblement supérieure au mâle.

Coloration globale brunâtre, avec la tête (joues et vertex) testacée de bleu-gris; les carènes latérales du pronotum forment un X blanc bien saillant; fémurs postérieurs avec face externe blanchâtre, marbrée dans l'aire médiane de noir et bleu-gris; les carinules, la carène supérieure et l'aire supéro-externe tachées de noir, face interne jaunâtre traversée du milieu vers la base par une longue bande noire avec une tache noire, moins marquée, au dernier tiers apical, genoux légèrement rembrunis et plus particulièrement le lobe genouillère supérieur; tibias postérieurs jaunâtres avec macules brunes, épines noires, épérons blanchâtres, se rembrunissant progressivement vers l'apex; tegmina de coloration brune, le champ médian et son prolongement vers l'apex sont maculés de taches noires en alternance avec des taches blanches (correspondant en fait aux nervures épaissies et de couleur blanchâtre), stigma blanc bien marqué.

Tête (fig. 8 et 9) comme le ♂ holotype sauf la côte frontale, moins profondément sillonnée, et les carènes non saillantes. Antennes moins longues, atteignant à peine le bord postérieur du pronotum.

Disque du pronotum comme chez le ♂ holotype, carènes latérales très anguleuses dans la prozone et interrompues dans la métazone, elles sont larges au niveau du sillon typique, s'affinent progressivement vers le bord postérieur et finissent en pointe. Bord postérieur du pronotum légèrement plus arrondi que chez le ♂.

Paranotum, prosternum, orifice tympanal. Comme le ♂ holotype.

Epiprocte en forme d'écusson, très arrondi à l'apex, sans relief.

Ovipositeur court; valves rembrunies à l'apex.

Cerques coniques et petits.

Fémurs postérieurs élancés (rapport longueur/largeur de 4,2).

Tibias postérieurs. Epines au nombre de 10 internes et externes. L'épéron interne supérieur distinctement plus court que l'épéron externe supérieur.

Tegmina atteignant l'apex des genoux postérieurs. Nervures sous-costale et radiale nettement épaissies et fusionnées dans le tiers basal. Champ costal peu élargi et à bords parallèles; champ sous-costal seulement visible sur la moitié apicale et peu élargi; champ radial seulement visible sur la deuxième moitié apicale, s'élargissant brusquement; champ médian large, avec bords divergent nettement; champ cubital antérieur s'élargissant régulièrement, pour devenir presque aussi large que le médian.

Alles postérieures atteignant l'apex des tegmina. Légèrement enfumées dans le quart apical.

Stridulation. – Il semble que seuls les mâles stridulent. Les émissions sonores sont de faible intensité, détectables seulement à quelques mètres.

Le chant d'appel est constitué de phrases courtes, irrégulièrement espacées (fig. 15-19). Chaque phrase dure entre 0,9 et 1,4 secondes et comprend 12-20 syllabes répétées à un rythme de 10-13/s. Elle commence crescendo pour atteindre rapidement son intensité maximale. L'oscillogramme (fig. 19) montre que les hémisyllabes "sonores" (visibles sur l'oscillogramme), correspondant au mouvement descendant des fémurs postérieurs, comprennent généralement 5 (4 à 7) interruptions. Il existe également un chant particulier: le mâle s'approche de la femelle par petits sauts en émettant de brèves phrases monosyllabiques (env. 0,1 s) répétées rapidement (fig. 20-22); ce chant peut correspondre à la définition du chant de cour donnée par RAGGE & REYNOLDS (1998): « un chant spécial produit par le mâle quand il se trouve à proximité de la femelle ».

Variabilité. – La coloration générale des individus varie du brun-jaunâtre au gris, tête et pronotum très souvent teintés de bleu-gris. Le surlignage blanc des carènes latérales du pronotum est assez constant chez les femelles mais très variable chez les mâles. Les ailes sont toujours enfumées sur la partie apicale, mais parfois seulement que très légèrement. Les macules noires et blanches des tegmina des femelles sont caractéristiques mais parfois absentes, la coloration générale rappelle alors celle des mâles (brun-jaunâtre assez uniforme). **Tête.** Toujours globuleuse avec des gros yeux et un espace interoculaire étroit, ce qui donne un habitus caractéristique à cette espèce. Les carènes de la côte frontale et de la côte sous-oculaire sont toujours fines et saillantes chez les mâles (moins marquées chez les femelles).

Mensurations assez constantes, sauf la population d'altitude sur la commune d'Alberracce, avec des mensurations sensiblement inférieures à celles des individus du *locus typicus* (Annexe).

Disque du pronotum. Carènes latérales toujours très anguleuses et en forme de X, toujours interrompues au milieu de la prozone. De profil, l'abaissement du disque dans sa partie médiane est également caractéristique de cette espèce.

Paranotum. Toujours plus haut que large, accentuant l'impression de grosse tête de cette espèce.

Epiprocte, plaque sous-génitale, cerques et pénis. Très constants, l'épiprocte et le pénis sont des caractères bien spécifiques de cet *Omocentrus*.

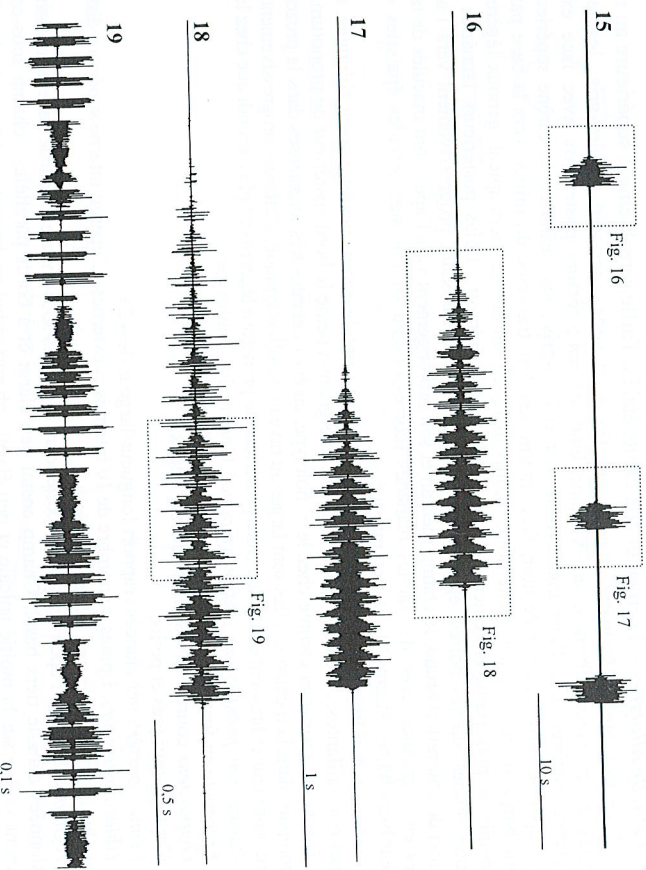


Fig. 15-19. – *Omocestus defaui* n. sp., ♂, chant d'appel (col de Bigorno, le 28.IX.2005, à 11 h 00, 25°C).

Epiprocte, plaque sous-génitale, cerques et pénis. Très constants, l'épiprocte et le pénis sont des caractères bien spécifiques de cet *Omocestus*.

Fémurs postérieurs. Le nombre de dents stridulatoires varie de 124 à 143 (pour n = 10 paratypes).

Tibias postérieurs. Le nombre des épines externes et internes est habituellement égal à 11, et varie de 10 à 12 (n = 10 ♂ et 10 ♀ paratypes).

Les tegmina atteignent ou dépassent toujours l'apex des genoux postérieurs. Jamais de lobe basal sur le champ précostal. La structure des tegmina est très constante, il arrive parfois, chez les ♂ comme chez les ♀, que le champ médian s'élargisse plus régulièrement (au lieu d'être sub-parallèle), sa largeur est alors presque deux fois supérieure à celle du champ cubital antérieur.

Dérivation du nom. – Cette espèce est dédiée à notre collègue Bernard Defaut, en témoignage de notre amitié et de notre reconnaissance pour ses remarquables travaux sur les Orthoptères de France.

Distribution géographique et écologie. – Actuellement sept localités sont connues en Corse (fig. 23).

1. – Le *locus typicus*, commune d'Olmeta-di-Tuda, *mont Pinzali* (N42.6048°/E9.3721° - WGS84), alt. 430-600 m. L'espèce a été observée et récoltée le 29.IX.2001, le 27.IX.2005 et le 6.IX.2006. Elle occupe une vaste zone du versant sud du mont Pinzali, et semble étroitement liée aux pentes rocailleuses et éboulis acifis (fig. 4). La végétation éparse est dominée par des Cistes, Chardons et Bruyères. Quelques espèces compagnes parmi les Orthoptères fréquentent également ces habitats extrêmement xériques : *Oedipoda fuscocincta morini* Defaut, 2006, *Oed. caeruleus sardeti* Defaut, 2006, et *Chorthippus brunneus*.

2. – Le col de Bigorno, sur la commune de Bigorno (N42.53°/E9.26°), plusieurs grandes populations ont été trouvées le 28.IX.2005 et le 13.IX.2006, aux lieux-dits Raigia Buja, col de Bigorno et crête de Prova, de 800 à 900 m d'altitude. Les habitats sont assez semblables à ceux du *locus typicus* : végétation éparse, dominée par des touffes de Thym (*Thymus herba-barbora*), sur éboulis acifis mais également sur des pentes rocailleuses plus modérées, avec une végétation moins lacunaire. Parmi les espèces compagnes typiques, on retrouve les mêmes qu'au mont Pinzali, ainsi que *Sphingonotus corsicus*, *Aiolopus strepens*, *Calliptamus barbarus*, *Omocestus rufipes* et le criquet endémique *Chorthippus pascuorum*.

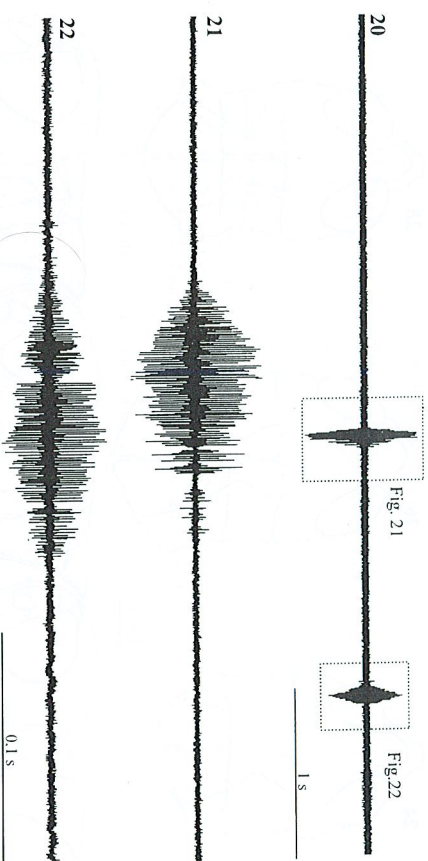


Fig. 20-22. – *Omocestus defaui* n. sp., chant de cour d'un ♂ émis à l'approche d'une ♀ (*idem*, 11 h 20).

3. – Bocca Forca, commune de Lento (N42.53°/E9.28°), alt. 820 m, 28.IX.2005 et 13.IX.2006 ; en continuité avec les stations précédentes, au sud du col de Bigorno (milieux similaires). Les milieux favorables sont vastes et abritent des effectifs élevés d'*Omocestus defaui*.

4. – Bocca a Serna, commune de Morosaglia (N42.44°/E9.27°), alt. 680 m, le 6.VII.2006 ; petite population (quelques adultes et beaucoup de jeunes) sur une petite pente rocailleuse dominée par des touffes de Thym.

5. – Col Sant'Antone, commune de Businico (N42.33°/E9.30°), alt. 995 m, le 11.VII.2006 ; petite population comprenant des adultes et quelques jeunes, située sur une pente rocailleuse pâturée, avec présence de petits éboulis (plantes dominantes *Calycolome* sp., *Euphorbia* sp., *Santolina* sp., *Taenrum marum*, *Thymus herba-barbora*).

6. – Ragina, commune d'Arbitro (N42.29°/E9.30°), alt. 765 m, le 11.VII.2006 ; population assez importante, comprenant des adultes et quelques jeunes, située sur une forte pente rocailleuse (pâturée), avec présence d'éboulis acifis.

7. – Crête de Lemidu, commune d'Albertacce (N42.319°/E8.935°), au niveau de la borne géodésique 1430 m. Nous avons découvert *Omocestus defaui* le 29.IX.2005, en mélange avec *Chorthippus pascuorum*. Ainsi, 3 ♂ et 3 ♀ de la nouvelle espèce ont été collectés ; ils sont sensiblement plus petits que sur les six localités précédentes (Annexe). L'habitat occupé est une lande rocailleuse pâturée, pente et de faible surface, en lisière d'une forêt de Pins. Les espèces compagnes sont *Oedipoda caeruleus sardeti*, *Sphingonotus corsicus*, *Calliptamus barbarus*, *Chorthippus brunneus* et *Ch. pascuorum*.

Sur les sites qu'elle occupe, cette espèce semble particulièrement exigeante concernant le microhabitat toujours constitué d'éboulis acifis ou de pelouses rocailleuses pentues avec une végétation éparse. L'altitude des stations est comprise entre 400 et 1430 m, soit de l'étage mésoméditerranéen inférieur jusqu'à l'étage montagnard ; *Omocestus defaui* semble être une espèce typique des moyennes montagnes.

La phénologie de cette espèce est estivale, les premiers adultes apparaissent début juillet et sont visibles jusque fin septembre, en effectifs encore importants.

Diagnose différentielle. – *Omocestus defaui* n. sp. se distingue de toutes les autres espèces européennes du genre par ses carènes prononcées très anguleuses (sous-genre *Ditrysius*) interrompues dans la prozone (fig. 28-29) et par la structure de sa stridulation. Parmi les espèces présentes en France, la taille très réduite et la tête relativement grande d'*O. defaui* rappellent

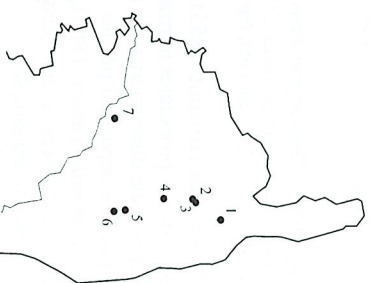


Fig. 23. – Distribution connue d'*Omocestus defaui*.

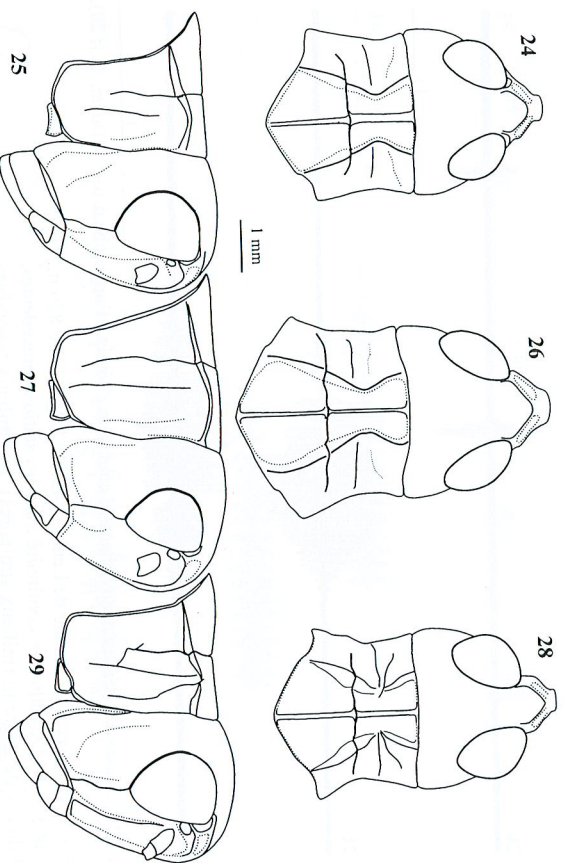


Fig. 24-29. – Têtes et pronotums en vue dorsale et de profil d'*Omocestus petraeus*, *O. haemorrhoidalis* et *O. defauti*. – 24, 25, *O. petraeus* ♀, Saint-Cépin (05), leg. E. Sarden, 6.VIII.2005 ; – 26, 27, *O. haemorrhoidalis* ♀, Molines-en-Queyras (05), leg. E. Sarden, 27.VIII.2000 ; – 28, 29, *O. defauti*, ♀ allotype.

O. petraeus (Brisout, 1855) (fig. 24-25), qui se distingue cependant par ses ailes hyalines et ses carènes pronotales normales, ininterrompues. La grosse tête (aussi longue que le pronotum) permet une distinction aisée d'*O. haemorrhoidalis* (Charpentier, 1825) (fig. 26-27), chez qui les élytres ne dépassent pas les genoux postérieurs et qui est par ailleurs nettement plus grand. *O. raymondi* (Yersin, 1863), également de taille distinctement supérieure, présente aussi des ailes enfumées mais possède des carènes pronotales nettement moins anguleuses et l'épirocte est simple.

A une échelle géographique plus large, il n'existe pas d'espèce européenne proche d'*O. defauti*. Les autres espèces du sous-genre *Dryshius* sont des espèces brachyptères ou microptères et possèdent des ailes toujours plus courtes que les tegmina.

Nous avons noté par ailleurs une grande ressemblance entre *O. defauti* et *O. znojikoi* Mishchenko, 1951, espèce présente en Azerbaïdjan (BEI-BIENKO & MISHCHENKO, 1964) et en Iran (*Descamps leg.*, 1964, MNHN, Paris). L'habitus est très comparable, les carènes latérales du disque du pronotum forment un X très marqué mais cependant moins anguleux et ne sont pas, ou rarement, interrompues. L'épirocte chez le mâle est lisse et ne présente qu'une petite dépression apicale.

En Corse, la confusion est possible avec *Chorthippus pascorum* (Chopard, 1923), dont l'habitus est étonnamment proche, et chez qui le lobe basal précostal des tegmina, caractéristique du genre, est souvent peu développé et peu visible (expliquant son rattachement initial aux *Omocestus* par Chopard). Ce petit *Chorthippus* se distingue cependant par ses proportions (pronotum bien plus long que la tête, vu de dessus) et ses carènes pronotales moins divergentes et non interrompues.

REMERCIEMENTS. – Nous remercions chaleureusement nos collègues : Christiane Amedegnato, responsable des collections de Caillifères du MNHN, pour son accueil et ses conseils avisés ; Gilles Carron pour la relecture très attentive et constructive du manuscrit. Nos sincères remerciements s'adressent également à Marie-Cécile Andrei-Ruiz et Stéphanie Tamagna, de l'Office de l'Environnement de la Corse, pour le soutien financier obtenu en 2006.

AUTEURS CITÉS

- BEI-BIENKO G.Y. & MISHCHENKO L.L., 1964. – *Locusts and Grasshoppers of the U.S.S.R. and Adjacent Countries. Part II.* – Zoological Institute Akademii Nauk SSSR, 291 p. +XXI, Jerusalem (Israel Program for Scientific Translations) [English translation of Russian original of 1951]
- BRAUD Y. & SARDET E., 2006. – Catalogue des Orthoptères de Corse : seconde actualisation (Orthoptères, Mantoptères, Blattoptères, Dermaptères et Phasmoptères). *Matériaux Orthoptériques et Entomocénologiques*, 11 : 97-111.
- BRAUD Y., SARDET E. & MORIN D., 2002. – Actualisation du catalogue des Orthoptéroïdes de l'île de Corse (France). *Matériaux Entomocénologiques*, 7 : 7-22.
- CHOPARD L., 1923. – Essai sur la faune des Orthoptères de la Corse. *Annales de la Société entomologique de France*, 92 : 253-286.
- GRUDI-PAPP M., 2004. – SoundRuler acoustic analysis Version 0.941, 2004-08-06, <http://soundruler.sourceforge.net>.
- HARZ K., 1975. – *Die Orthopteren Europas*. 2. W. Junk, La Haye, 939 p.
- HELLER K.-G., KORSUNOVSKAYA O., RAGGE D.R., VEDEMINA V., WILLEMSE F., ZHANTIEV R.D. & FRANTSEVICH L., 1998. – Check-list of European Orthoptera. *Articulata*, 7 : 1-61.
- RAGGE D.R. & REYNOLDS W.-J., 1998. – *The Songs of the Grasshoppers and Crickets of Western Europe*. Harley Books (Colchester, Essex C06 4 AH, England), 591 p.

ANNEXE

Mensurations et rapports morphométriques d'*Omocestus defauti* (du locus typicus et de la station d'Alberacce), *O. petraeus* et *O. haemorrhoidalis*.

	Mâles, mensurations en mm, moy ± écart-type ; [min-max]		
	<i>O. defauti</i>	<i>O. petraeus</i>	<i>O. haemorrhoid.</i>
	(n = 15)	(n = 3)	(n = 14)
locus typicus	Alberacce		
corps (vertex - apex tegmen)	13,7 ± 0,43 [13,1-14,6]	12,6 ± 0,45 [12,1-13,0]	14,4 ± 0,79 [13,1-15,6]
tegmen (en vue dorsale)	9,6 ± 0,33 [9,1-10,3]	9,1 ± 0,45 [8,6-9,5]	10,2 ± 0,74 [8,9-11,5]
longueur fémur	8,16 ± 0,44 [7,75-9,54]	7,00 ± 0,15 [6,85-7,15]	8,68 ± 0,67 [8,49-9,68]
largeur fémur	1,8 ± 0,071 [1,7-2,1]	1,7 ± 0,05 [1,6-1,7]	2,0 ± 0,15 [1,7-2,2]
longueur tête (en vue dorsale)	2,2 ± 0,1 [2,0-2,4]	1,8 ± 0,04 [1,76-1,83]	2,3 ± 0,12 [2,1-2,4]
longueur pronotum	2,1 ± 0,09 [1,9-2,3]	1,9 ± 0,055 [1,81-1,91]	2,4 ± 0,19 [2,2-2,7]
distance (bord antérieur du pronotum - rétrécissement des carènes)	0,6 ± 0,04 [0,52-0,67]	0,52 ± 0,01 [0,5-0,52]	0,59 ± 0,06 [0,52-0,71]
distance (bord antérieur du pronotum - sillon typique = prozone)	0,96 ± 0,04 [0,9-1,05]	0,87 ± 0,014 [0,86-0,88]	1,08 ± 0,10 [0,90-1,24]
distance (bord postérieur cell - bord antérieur du pronotum)	0,53 ± 0,09 [0,439-0,71]	0,32 ± 0,07 [0,29-0,40]	0,65 ± 0,09 [0,5-0,79]
distance interoculaire	0,56 ± 0,03 [0,51-0,6]	0,44 ± 0,016 [0,42-0,46]	0,73 ± 0,04 [0,68-0,81]
largeur cell (vue de dessus)	0,84 ± 0,04 [0,79-0,89]	0,77 ± 0,011 [0,75-0,78]	0,74 ± 0,04 [0,66-0,80]
longueur cell	1,49 ± 0,04 [1,42-1,51]	1,30 ± 0,04 [1,28-1,34]	1,54 ± 0,07 [1,38-1,58]
largeur cell (vue latérale)	1,09 ± 0,06 [1,15-1,40]	1,09 ± 0,13 [1,02-1,23]	1,14 ± 0,05 [1,04-1,19]
largeur prozone	1,13 ± 0,07 [0,98-1,23]	0,98 ± 0,02 [0,96-1]	1,18 ± 0,08 [1,06-1,30]
largeur au niveau rétrécissement des carènes	0,58 ± 0,08 [0,45-0,72]	0,47 ± 0,07 [0,38-0,51]	0,79 ± 0,08 [0,66-0,96]
largeur au niveau sillons	1,09 ± 0,06 [1,1-1,19]	0,96 ± 0,03 [0,94-1]	1,23 ± 0,057 [1,11-1,32]
largeur métabzone (bord postérieur)	1,53 ± 0,06 [1,42-1,68]	1,40 ± 0,04 [1,36-1,45]	1,66 ± 0,10 [1,55-1,79]

	Rapports morphométriques			
	0,98 ± 0,05 [0,92-1,10]	1,04 ± 0,05 [0,99-1,08]	1,03 ± 0,08 [0,87-1,15]	1,16 ± 0,07 [1,06-1,32]
rapport (longueur pronotum/longueur tête)	0,98 ± 0,05 [0,92-1,10]	1,04 ± 0,05 [0,99-1,08]	1,03 ± 0,08 [0,87-1,15]	1,16 ± 0,07 [1,06-1,32]
rapport (largeur de dessus)/distance interoculaire / largeur de l'œil (vue de dessus)	1,55 ± 0,13 [1,32-1,82]	1,74 ± 0,08 [1,67-1,82]	1,02 ± 0,08 [0,89-1,14]	0,90 ± 0,04 [0,8-0,98]
rapport (distance interoculaire / largeur de l'œil (vue de dessus))	0,65 ± 0,05 [0,55-0,76]	0,57 ± 0,02 [0,55-0,60]	0,98 ± 0,08 [0,88-1,12]	1,11 ± 0,06 [1,03-1,25]
rapport (longueur de l'œil/distance interoculaire)	2,71 ± 0,18 [2,43-3,15]	2,96 ± 0,18 [2,79-3,15]	2,11 ± 0,12 [1,97-2,36]	1,79 ± 0,07 [1,65-1,92]
rapport (longueur/largeur de l'œil)	1,76 ± 0,08 [1,66-1,92]	1,69 ± 0,03 [1,67-1,73]	2,07 ± 0,10 [1,96-2,31]	1,98 ± 0,08 [1,87-2,12]
Rapport (prozone/métabone)	1,20 ± 0,08 [1,10-1,35]	1,15 ± 0,03 [1,11-1,16]	1,20 ± 0,07 [1,08-1,29]	1,15 ± 0,06 [1,04-1,27]

	Femelles, mensurations en mm, moy ± écart-type : [min-max]			
	Locus typicus (n=15)	Alberacce (n=3)	O. petraeus (n=12)	O. haemorrhoid. (n=11)
corps (vertex - apex tegmen)	16,9 ± 0,45 [16,1-17,6]	15,8 ± 0,09 [15,8-15,9]	17,0 ± 0,86 [16,1-18,9]	18,7 ± 1,43 [16,2-20,4]
tegmen (en vue dorsale)	11,8 ± 0,28 [11,1-12,1]	11,3 ± 0,09 [11,2-11,3]	11,5 ± 0,76 [10,6-13,3]	12,9 ± 1,10 [10,6-14,1]
longueur fémur	9,8 ± 0,34 [9,1-10,3]	9,2 ± 0,09 [9,1-9,2]	10,1 ± 0,41 [9,5-11,0]	11,2 ± 0,67 [9,7-11,9]
largeur fémur	2,2 ± 0,10 [2,0-2,5]	2,13 ± 0,04 [2,09-2,17]	2,4 ± 0,10 [2,2-2,6]	2,5 ± 0,15 [2,3-2,8]
longueur tête (en vue dorsale)	2,7 ± 0,10 [2,45-2,90]	2,3 ± 0,22 [2,07-2,48]	2,7 ± 0,15 [2,43-2,95]	2,8 ± 0,22 [2,33-3,14]
longueur pronotum	2,6 ± 0,13 [2,3-2,8]	2,4 ± 0,03 [2,4-2,5]	2,8 ± 0,13 [2,6-3,0]	3,4 ± 0,23 [3,0-3,6]
distance (bord antérieur du pronotum - rétrécissement des carenes)	0,69 ± 0,05 [0,57-0,79]	0,68 ± 0,05 [0,64-0,74]	0,71 ± 0,05 [0,64-0,86]	0,74 ± 0,08 [0,62-0,90]
distance (bord antérieur du pronotum - sillon typique = prozone)	1,17 ± 0,06 [1,1-1,29]	1,13 ± 0,08 [1,05-1,19]	1,27 ± 0,06 [1,14-1,36]	1,51 ± 0,13 [1,24-1,71]
distance (bord postérieur œil - bord antérieur du pronotum)	0,79 ± 0,06 [0,69-0,90]	0,51 ± 0,09 [0,40-0,57]	0,82 ± 0,11 [0,67-1,1]	0,81 ± 0,11 [0,52-0,93]
distance interoculaire	0,73 ± 0,05 [0,67-0,81]	0,63 ± 0,027 [0,62-0,67]	0,91 ± 0,05 [0,86-1,1]	1,10 ± 0,09 [0,95-1,24]
largeur œil (vue de dessus)	0,93 ± 0,06 [0,76-1,1]	0,88 ± 0,02 [0,86-0,90]	0,89 ± 0,04 [0,83-0,95]	0,85 ± 0,05 [0,76-0,90]
longueur œil	1,65 ± 0,04 [1,57-1,72]	1,55 ± 0,04 [1,51-1,60]	1,71 ± 0,10 [1,49-1,81]	1,67 ± 0,10 [1,35-1,83]
largeur œil (vue latérale)	1,34 ± 0,03 [1,28-1,40]	1,20 ± 0,01 [1,19-1,21]	1,25 ± 0,07 [1,04-1,34]	1,31 ± 0,08 [1,19-1,42]
largeur prozone	1,39 ± 0,11 [1,05-1,52]	1,40 ± 0,03 [1,38-1,43]	1,44 ± 0,10 [1,29-1,62]	1,37 ± 0,08 [1,19-1,48]
largeur au niveau rétrécissement des carenes	0,69 ± 0,07 [0,57-0,81]	0,65 ± 0,03 [0,62-0,67]	0,96 ± 0,06 [0,86-1,05]	0,87 ± 0,07 [0,76-0,95]
largeur au niveau sulcus	1,37 ± 0,11 [1,19-1,55]	1,40 ± 0,03 [1,38-1,43]	1,47 ± 0,09 [1,38-1,62]	1,59 ± 0,08 [1,48-1,71]
largeur métabone (bord postérieur)	1,98 ± 0,08 [1,81-2,09]	1,90 ± 0,02 [1,88-1,93]	2 ± 0,09 [1,90-2,14]	2,32 ± 0,12 [2,14-2,57]

Rapports morphométriques				
rapport (longueur pronotum/longueur tête)	0,97 ± 0,04 [0,87-1,02]	1,06 ± 0,10 [1,1-1,17]	1,05 ± 0,04 [1,1-1,12]	1,23 ± 0,09 [1,14-1,41]
rapport (largeur de l'œil (vue de dessus)/distance interoculaire)	1,28 ± 0,10 [1,14-1,5]	1,39 ± 0,07 [1,32-1,46]	0,97 ± 0,03 [0,92-1,03]	0,77 ± 0,07 [0,71-0,95]
rapport (distance interoculaire / largeur de l'œil (vue de dessus))	0,78 ± 0,06 [0,67-0,88]	0,72 ± 0,04 [0,68-0,76]	1,03 ± 0,04 [0,98-1,09]	1,30 ± 0,10 [1,05-1,41]
rapport (longueur de l'œil/distance interoculaire)	2,26 ± 0,16 [2,02-2,51]	2,44 ± 0,04 [2,39-2,47]	1,87 ± 0,09 [1,65-1,97]	1,53 ± 0,11 [1,44-1,79]
rapport (longueur/largeur de l'œil)	1,23 ± 0,03 [1,17-1,28]	1,29 ± 0,02 [1,27-1,32]	1,36 ± 0,05 [1,27-1,43]	1,28 ± 0,08 [1,11-1,40]
Rapport (prozone/métabone)	1,22 ± 0,09 [1,04-1,39]	1,16 ± 0,14 [1,08-1,32]	1,19 ± 0,08 [1,09-1,31]	1,25 ± 0,02 [1,08-1,88]